

Применение спектрального метода контрольного объема к моделированию турбулентного течения на неструктурированных сетках

Е.С. МОИСЕЕВА, А.С. МОИСЕЕВА

Казахский национальный университет им. аль-Фараби, Алматы, Казахстан
e-mail: kvf@kaznu.kz

Аннотация

В данной статье рассматривается применение спектрального метода контрольного объема к моделированию сверхзвукового турбулентного течения многокомпонентной газовой смеси в плоском канале. Приводится решение для значений функций формы в случае линейного полинома.

В настоящее время уделяется значительное внимание исследованию течения сверхзвуковых турбулентных струй в спутном потоке. Исследованию таких течений посвящено большое число практических и теоретических работ, например [1]-[3]. Основными трудностями, возникающими при численном моделировании таких типов течений, являются взаимодействия скачков уплотнения, волн Маха с пограничным слоем, а также наличие зон отрыва. В связи с этим достаточно трудно описать вышеуказанные процессы на основе единого численного алгоритма без привлечения различных упрощающих предположений. Во многих задачах для исследования таких типов течений применялись параболизированные уравнения Навье-Стокса, которые занимают промежуточное положение между полными уравнениями Навье-Стокса и уравнениями пограничного слоя. Однако, они не дают возможность изучать эти процессы. Следовательно, появляется необходимость привлечения полных уравнений Навье-Стокса.

При численном решении исходных уравнений использование схем повышенного порядка аппроксимации приводит к введению искусственной вязкости, которая может существенно влиять на точность получаемого решения. Существуют схемы без использования искусственной вязкости, такие как монотонные схемы, TVD схемы. Однако их существенным недостатком является то, что в окрестности локальных экстремумов решения порядок точности этих схем понижается до первого. Таким образом, необходима разработка схемы, обеспечивающей описание скачков уплотнения, вихрей и других разрывов газодинамических параметров и не допускающей понижения точности решения на разрывах до первого.

Целью данной работы является численное моделирование вдува плоской сверхзвуковой струи водорода в спутный сверхзвуковой поток воздуха при наличии стенки. Для удобства вычисления рассматривается вдув струи только с нижней стенки. Схема течения показана на Рис.1

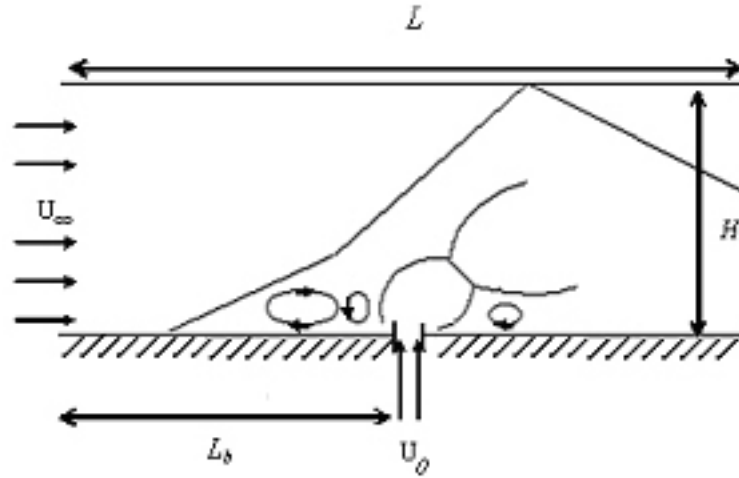


Рис. 1: Схема течения. L – длина канала, H – высота канала, L_0 – расстояние от входа потока до щели, U_∞ – скорость потока, U_0 – скорость струи

Исходной является система двумерных осредненных по Рейнольдсу уравнений Навье-Стокса для многокомпонентного газа, записанная в декартовой системе координат в консервативной форме:

$$\frac{\partial U}{\partial t} + \frac{\partial(E - E_v)}{\partial x} + \frac{\partial(F - F_v)}{\partial y} = 0 \quad (1)$$

где

$$U = (\rho, \rho u, \rho v, E_t, \rho Y_k)^T,$$

$$E = (\rho u, \rho u^2 + p, \rho uv, (E_t + p)u, \rho u Y_k)^T, F = (\rho v, \rho uv, \rho v^2 + p, (E_t + p)v, \rho v Y_k)^T,$$

$$E_v = (0, \tau_{xx}, \tau_{xy}, u\tau_{xx} + v\tau_{xy} - q_x, J_{kx})^T, F_v = (0, \tau_{yx}, \tau_{yy}, v\tau_{yx} + u\tau_{yy} - q_y, J_{ky})^T;$$

$$p = \frac{\rho T}{\gamma_\infty M_\infty^2} \left(\sum_{k=1}^N \frac{Y_k}{W_k} \right), E_t = \frac{\rho}{\gamma_\infty M_\infty^2} \sum_{k=1}^N Y_k h_k - p + \frac{1}{2} \rho (u^2 + v^2),$$

$$\sum_{k=1}^N Y_k = 1, h_k = h_k^0 + \int_{T_0}^T c_{pk} dT, c_{pk} = C_{pk}/W, W = \left(\sum_{k=1}^N \frac{Y_k}{W_k} \right)^{-1}$$

Исходная система уравнений (1) записана в безразмерной форме в общепринятых обозначениях. Здесь u, v – компоненты скорости, ρ – плотность, E_t – полная энергия, Y_k – массовая концентрация k -ой компоненты, h – удельная энтальпия k -ой компоненты,

$\gamma = c_p/c_v$ - отношение удельных теплоемкостей, где c_p, c_v - теплоемкости при постоянном давлении и объеме, M_∞ - число Маха потока. Коэффициент динамической вязкости представляется в виде суммы μ_Δ - молекулярной вязкости и μ_t - турбулентной вязкости: $\mu = \mu_\Delta + \mu_t$. Молярные удельные теплоемкости c_{pk} - полином 4-ой степени относительно температуры, где значение эмпирических констант взяты из таблицы JANAF [4], W - молярный вес смеси всех газов, $\tau_{xx}, \tau_{xy} = \tau_{yx}, \tau_{yy}$, - тензоры турбулентных напряжений (определяются согласно модели Болдуина-Ломакса) и q_x, q_y, J_{kx}, J_{ky} - тепловые и диффузионные потоки. В качестве определяющих параметров приняты параметры на срезе сопла (u_0, ρ_0, T_0) , а характерный размер - радиус сопла r . Давление и полная энергия отнесены к значению $\rho_0 u_0^2$.

Начальные и граничные условия задаются согласно [5]

Для того чтобы учесть сложную конфигурацию расчетной области, а также повысить точность расчетов, мы применяем неструктурированную сетку [6]. В отличие от обычного метода конечных объемов, в спектральном методе контрольных объемов мы получаем информацию о потоках не из соседних ячеек, а из внутренних подъячеек (subcells).

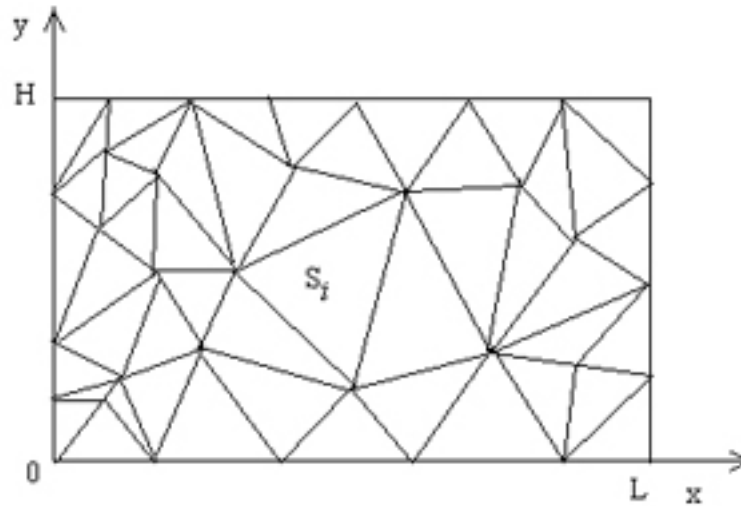


Рис. 2: Дискретизация области

Предварительно разобьем рассматриваемую область Ω на S_i подобласти ($i = 0, \dots, I-1$) - спектральные объемы, причем S_i - непересекающиеся треугольные ячейки (Рис.2),

$$\Omega = \bigcup_{i=0}^{I-1} S_i,$$

где I - число ячеек сетки. Далее каждую S_i подобласть, в свою очередь, разделим на N C_{ij} ($i = 0, \dots, I-1; j = 0, \dots, N-1$) подобластей - контрольные объемы (для пред-

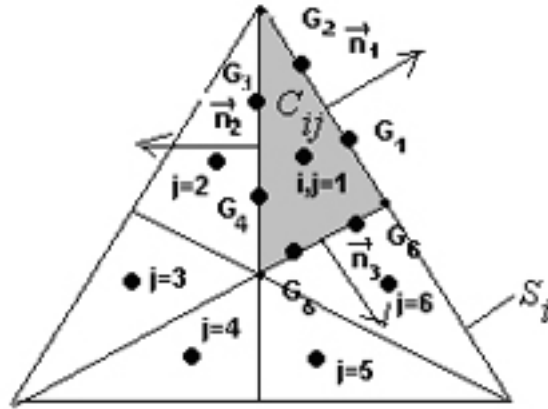


Рис. 3: Спектральный объем для квадратичного полинома

ставления решения с помощью полинома степени m нам необходимо $N = \frac{(m+1)(m+2)}{2}$ узловых значений функции u),

$$S = U_{j=0}^{N-1} C_{ij}, (i = 0, \dots, I - 1)$$

Например, для построения решения с помощью полинома 2 степени можно использовать разбиение, показанное на Рис. 3.

Проинтегрируем исходную систему уравнений (1) по контрольному объему C_{ij} и, используя формулу Остроградского-Гаусса [7] для перехода от интеграла по объему к поверхностному интегралу для членов, содержащих потоки, получим

$$\int_{C_{ij}} \frac{\partial u}{\partial t} dV + \sum_{r=1}^3 \int_{A_r^{ij}} (\vec{H}(\vec{u}) \vec{n}_r) dA = 0, \quad (2)$$

где

$$\vec{H} = (E(u) - E_v(u), F(u) - F_v(u)),$$

∂C_{ij} - граница контрольного объема C_{ij} , n - внешняя нормаль к ∂C_{ij} , причем $n = (n_1, n_2, n_3)$, т.к. $\partial C_{ij} = \sum_{r=1}^3 A_r^{ij}$, где A_{ij} - грань ∂C_{ij} Определим осредненную по величине, как

$$\bar{u}_{ij} = \frac{\int_{C_{ij}} u dV}{V_{ij}}, \quad (3)$$

где V_{ij} - площадь контрольного объема (для двумерного случая).

Для вычисления поверхностного интеграла применим квадратурную формулу Гаусса порядка $k = m + 1$ [8]. На каждой грани A_r^{ij} для этого определим точки квадратурной формулы Гаусса $G_r^{ij}(x_r^{ij}, y_r^{ij})$ ($r = 1, \dots, J + 1$), где

$$J = \text{integer}\left(\frac{k+1}{2}\right)$$

и (x_r^{ij}, y_r^{ij}) – координаты точек квадратурной формулы Гаусса G_r^{ij} (Рис. 3).

Тогда, с учетом (3), запишем (2) следующим образом:

$$\frac{d\bar{u}_{ij}}{dt} + \frac{1}{V_{ij}} \sum_{r=1}^3 \sum_{s=1}^2 (\vec{H}(u(x_{rs}^{ij}, y_{rs}^{ij}))) \vec{n}_r = 0, \quad (4)$$

где \bar{u}_{ij} – величины, определенные в центральных точках C_{ij} .

Как видно из (4), $u(x_{rs}^{ij}, y_{rs}^{ij})$ не являются узловыми значениями искомой функции. Для экстраполирования их через узловые значения функции используем многомерный полином $p_i(x, y)$ степени $m \geq k - 1$, который аппроксимирует искомую $u(x, y)$ в S_i с порядком точности k .

Для построения функции $p_i(x, y)$ введем полный базис полиномов $e_l(x, y) \in P$, где $P = \text{span}\{e_l(x, y)\}_{l=1}^N$. Полином $p_i(x, y)$ в данном базисе представляется в виде

$$p_i = ea_i, \quad (5)$$

где $a_i = [a_{i1}, \dots, a_{iN}]^T$ – вектор неизвестных коэффициентов полинома.

Таким образом, получим следующее выражение, определяющее связь между неизвестными коэффициентами a_i и средними неизвестными значениями искомой функции \bar{u}_{ij} :

$$\frac{1}{V_{ij}} \int_{C_{ij}} (a_{i1}e_1 + \dots + a_{iN}e_N) dx dy = \bar{u}_{ij}, j = 1, \dots, N \quad (6)$$

Введем матрицу R вида

$$R = \begin{bmatrix} \frac{1}{V_{i1}} \int_{C_{i1}} e_1(x, y) dx dy & \dots & \frac{1}{V_{i1}} \int_{C_{i1}} e_N(x, y) dx dy \\ \vdots & \ddots & \vdots \\ \frac{1}{V_{iN}} \int_{C_{iN}} e_1(x, y) dx dy & \dots & \frac{1}{V_{iN}} \int_{C_{iN}} e_N(x, y) dx dy \end{bmatrix}, \quad (7)$$

Пусть $\bar{u}_i = [\bar{u}_{i1}, \dots, \bar{u}_{iN}]^T$, тогда выражение (6) с учетом (7) примет вид

$$R_i a_i = \bar{u}_i$$

Таким образом получена система алгебраических уравнений относительно вектора неизвестных a_i , разрешение которой относительно вектора неизвестных коэффициентов приводит к следующему решению

$$a_i = R_i^{-1} \bar{u}_i \quad (8)$$

После подстановки найденного вектора коэффициентов (8) в искомый полином, будем иметь

$$p_i = eR_i^{-1}\bar{u}_i \quad (9)$$

Согласно [8], введем вектор функций формы

$$L_i = eR_i^{-1}, \quad (10)$$

где $L_i = [L_{i1}, \dots, L_{iN}]$.

Тогда (9) запишем с помощью вектора функций формы следующим образом

$$p_i = L_i\bar{u}_i \quad (11)$$

Согласно [8], различные формы спектральных объемов могут приводить к одинаковым выражениям функций формы, если были применены геометрически одинаковые разбиения данных объемов. Таким образом, достаточно вычислить значения функций формы только один раз.

Например, для линейного полинома $J = 1$, т.е. на каждой грани контрольного объема C_{ij} необходимо взять 1 точку, находящуюся посередине грани (Рис. 4).

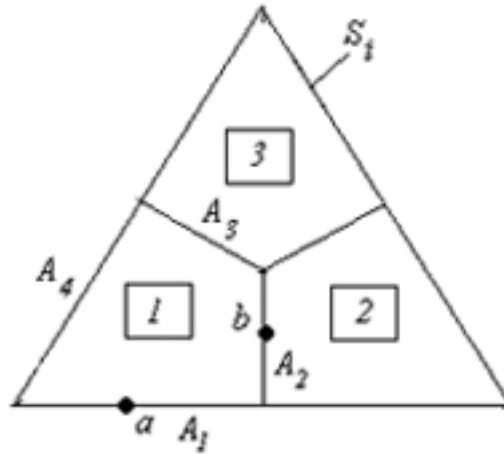


Рис. 4: Дискретизация области

Далее, используя найденный полином, при распаде произвольного разрыва скорости распространения волн вправо и влево от грани спектрального объема определя-

ются в (4) с помощью решения задачи Римана (Рис. 3)

$$\begin{aligned} & \frac{d\bar{u}_{ij}}{dt} + \frac{1}{V_{ij}} \sum_{q=1}^J w_{1q} H_{Riem}(p_i(x_{1q}, y_{1q}), p_{i1}(x_{1q}, y_{1q}), \vec{n}_1) A_1 \\ & + \sum_{q=1}^J w_{2q} H(p_i(x_{2q}, y_{2q}), \vec{n}_2) A_2 + \sum_{q=1}^J w_{3q} H(p_i(x_{3q}, y_{3q}), \vec{n}_3) A_3, \end{aligned} \quad (12)$$

где p_{ir} – полином, построенный в соседнем контрольном объеме $C_{ij,r}$, имеющем общую грань A_r с контрольным объемом C_{ij} ; $w_{rq}, r = 1, \dots, 3$ – весовые коэффициенты квадратурной формулы Гаусса. Для решения (12) используется схема Рунге-Кутты 3 порядка точности [8].

Значения функций формы вычисляются с помощью программы MatLab, в случае линейного полинома

$$\begin{aligned} L_a &= (4/3, 2/15, -7/15) \\ L_b &= (8/15, 8/15, -1/15) \end{aligned}$$

Из-за симметричности в данном случае достаточно вычислить значения функций формы в двух точках, a и b . Далее полином строится с использованием осредненных значений искомой функции

$$\begin{aligned} p(x_a, y_a) &= \frac{4}{3} \bar{u}_1 + \frac{2}{15} \bar{u}_2 - \frac{7}{15} \bar{u}_3 \\ p(x_b, y_b) &= \frac{8}{15} \bar{u}_1 + \frac{8}{15} \bar{u}_2 - \frac{1}{15} \bar{u}_3 \end{aligned}$$

Поле температуры вычисляется согласно [5].

Список литературы

- [1] *Santiago J.G., Dutton J.C. Crossflow vortices of a jet injected into a supersonic crossflow // AIAA Journal. - 1996. - Vol. 35, №5. - p.915-917*
- [2] *Драммонд Д.Ф., Вайднер Э.Х. Численный метод расчета в канале ПВРД // Аэрокосмическая техника. - 1983. - Т.1, №4. - с.42-49*
- [3] *Вайднер Э.Х., Драммонд Д.Ф. Расчетное исследование схемы вдува топлива в канал ПВРДсг с последовательным расположением щелей // Аэрокосмическая техника. - 1983. - Т.1, №5. - с.103-111*
- [4] *Kee R.J., Rupley F.M., Miller J.A. CHEMKIN-II: a Fortran chemical kinetic package for the analysis of gas-phase chemical kinetic // SANDIA Report SAND89-8009. - 1989. - с.35*

- [5] Бекетаева А.О. Численное исследование сверхзвукового течения с поперечным вдувом струи // Диссертация на соискание ученой степени кандидата физико-математических наук. – 2006
- [6] Olivier-Goosh C., Van Altena M. A high-order-accurate unstructured mesh finite-volume scheme for the advection-diffusion equation // *Journal of Comp. Phys.* 181.- 2002.- p.729-752
- [7] Корн Г., Корн Т. Справочник по математике для научных работников и инженеров. – Москва: Наука, 1968. – 720 с.
- [8] Wang Z.J., Liu Y. Spectral (finite) volume method for conservation laws on unstructured grids. II. Extension to two-dimensional scalar equation // *Journal of Comp. Phys.* 179.- 2002.- p.665-697